

防衛大学校 正会員 佐藤良一
東京工業大学 正会員 長瀬重義

1 まえがき

鉄筋コンクリート(RC)部材の剛性評価はたわみや温度変化に起因する温度応力などを算定するとき極めて重要な問題となる。これまでRC部材の剛性評価に関する研究は多く行なわれてきたが、その多くは静的問題であり持続荷重を受ける場合を対象とするものは少ない。

本研究は、静的荷重によりひびわれが分散したあとに持続荷重を受ける状態を想定し、圧縮および引張域コンクリートと付着のクリープをそれぞれ考慮して、持続曲げ荷重を受けるRC部材の剛性を理論的に求める一方法を示したものである。

2 解析方法

2.1 仮定(図-1参照)

基礎方程式を定式化するうえで ①コンクリートの瞬間弾性係数 E_c は一定である ②ひびわれ断面のコンクリートは引張応力を負担しない ③圧縮部コンクリート、圧縮鉄筋および引張鉄筋は同一平面上にある ④引張部コンクリートのひずみは中立軸からの距離に比例する ⑤乾燥収縮は無視するなどの仮定を設ける。

2.2 材料特性

コンクリートおよび付着のクリープ特性については参考文献 1) にしたがった。

2.3 基礎方程式の定式化

載荷日数 t_i におけるコンクリートのひずみと応力は次式で示される。

$$\varepsilon(t_i, z) = \sigma(t_i, z) / E_c + \frac{1}{2} \sum_{j=2}^i f(\alpha_{t_j}) \{ \varepsilon(t_{j-1}, z) + \sigma(t_j, z) \} \quad \cdots (1)$$

$$\sigma(t_i, z) = g(t_i) \{ \varepsilon(t_i, z) - \frac{1}{2} f(\alpha_{t_{i-1}}) \varepsilon(t_{i-1}, z) - \frac{1}{2} \sum_{j=2}^{i-1} f(\alpha_{t_j}) \{ \varepsilon(t_{j-1}, z) + \sigma(t_j, z) \} \} \quad \cdots (2)$$

ただし、 $f(\alpha_{t_j}) = \bar{\varepsilon}_{cr}(t_j) - \bar{\varepsilon}(t_{j-1})$ ($\bar{\varepsilon}_{cr}(t_j)$: t_j における単位クリープひずみ), $g(t_i) = E_c / \{ 1 + \frac{1}{2} f(\alpha_{t_{i-1}}) \}$
任意断面において以下の3式が成立する。

$$C_c + C_s + T_c + T_s = 0 \quad \cdots (3), \quad M_c + M_s + M_T = M \quad \cdots (4), \quad \sigma(t_i, h-d) = 0 \quad \cdots (5)$$

$$\therefore \because \bar{\varepsilon}, \quad C_c = b \int_{h-d}^h \sigma(t_i, z) dz - A'_s \sigma(t_i, h-d), \quad C_s = A'_s \sigma'_s, \quad T_c = b \int_0^{h-d} \sigma(t_i, z) dz - A_s \sigma(t_i, h-d), \quad T_s = A_s \sigma'_s$$

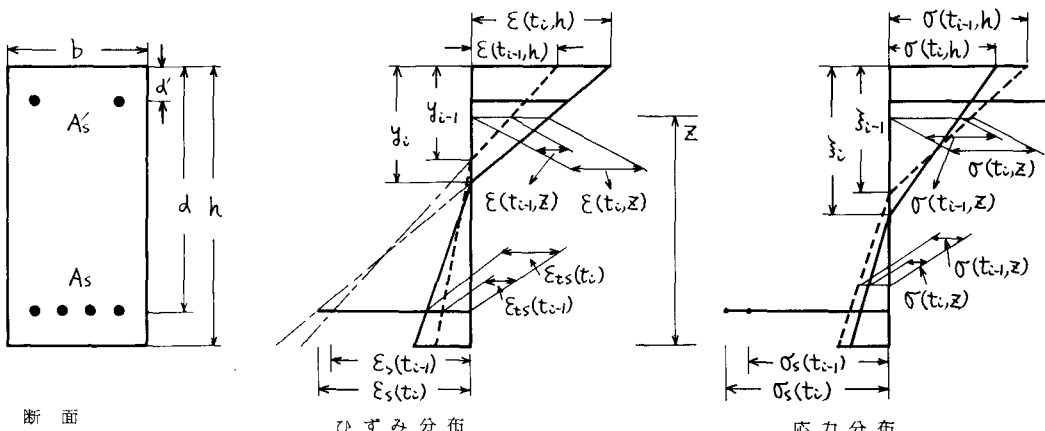


図-1 断面の応力・ひずみ分布の推移の概念図

$$M_C = b \int_{h-d}^h \sigma(t, z) \{z - (h-d)\} dz - (d-d') A_s' \sigma(t, h-d'),$$

$$M_s' = (d-d') A_s' \sigma_s', M_T = b \int_{h-d}^h \sigma(t, z) \{z - (h-d)\} dz$$

これら 3 式より $\varepsilon_s(t)$, $\varepsilon_{ts}(t)$ および ε_u との関係が求まり次式が得られる。

$$d\delta_x/dx = \varepsilon_s(t) - \varepsilon_{ts}(t) = f(y_i) \quad \dots \dots (6)$$

また、軸方向の変化に対して次の 3 式が成り立つ。

$$dC_c/dx + dC_s/dx + dT_c/dx + dT_s/dx = 0 \quad \dots \dots (7)$$

$$dM_c/dx + dM_s'/dx + dM_T/dx = 0 \quad \dots \dots (8)$$

$$d\{\sigma(t, h-d)\}/dx = 0 \quad \dots \dots (9)$$

上記式(7)～(9)を整理し、すべり量とひずみの関係、付着応力とひずみの関係を適用すれば最終的に次の形の基礎方程式が導かれる。

$$d\delta_x/dx^2 = (V_s/A_s E_s) \{1 - G(y_i, \mu_i)\} \varepsilon(t, \delta_x, x) - H(y_i, \mu_i) \quad (10)$$

$H(y_i, \mu_i)$ はコンクリートのクリープひずみを表す項であり、静的問題の場合は $H(y_i, \mu_i) = 0$ となる。

式(10)は、境界条件 $\{\delta_x\}_{x=0} = 0$ (ひびわれ間中央断面), $\{d\delta_x/dx\}_{x=a} = \{\varepsilon_s(t)\}_{x=a}$ (ひびわれ断面) を用いながら式(6)と連立にするにより解くことができる。

数値解析を行なううえで付着応力とすべり量の関係は六東らの提案式にしたがった。ただし、ひびわれ断面近傍の付着劣化下は黒正らの実験結果に基づいて考慮した¹⁾。

3 解析結果

図-2 および図-3 は断面 $20 \times 40 \text{ cm}$ ($A_s = 3.97 \text{ cm}^2$ (2D16), $A_s = 7.94 \text{ cm}^2$ (4D16)), ひびわれ間隔 20 cm の RC 部材の載荷後初期のクリープ性状を解析結果の一例として示したものである。

これらの図に示されているように、本解析法は持続曲げ荷重を受ける RC 部材の①中立軸が下がる ②付着応力度が低下する ③鉄筋応力度が増大する ④圧縮縁コンクリートのひずみが増大する一方応力度は低下する ⑤曲率が増大するなどの従来より指摘されてきた性質を表わし得ることがわかる。

4 あとがき

本研究に対し昭和 57 年度吉田研究奨励金が授与された。謹んで御礼申し上げます。

(参考文献)

- 1) 長瀬, 佐藤: 持続引張荷重を受ける RC 部材の変形・ひびわれ解析に関する考察, 第 5 回コンクリート工学年次講演会講演論文集, 昭和 58 年

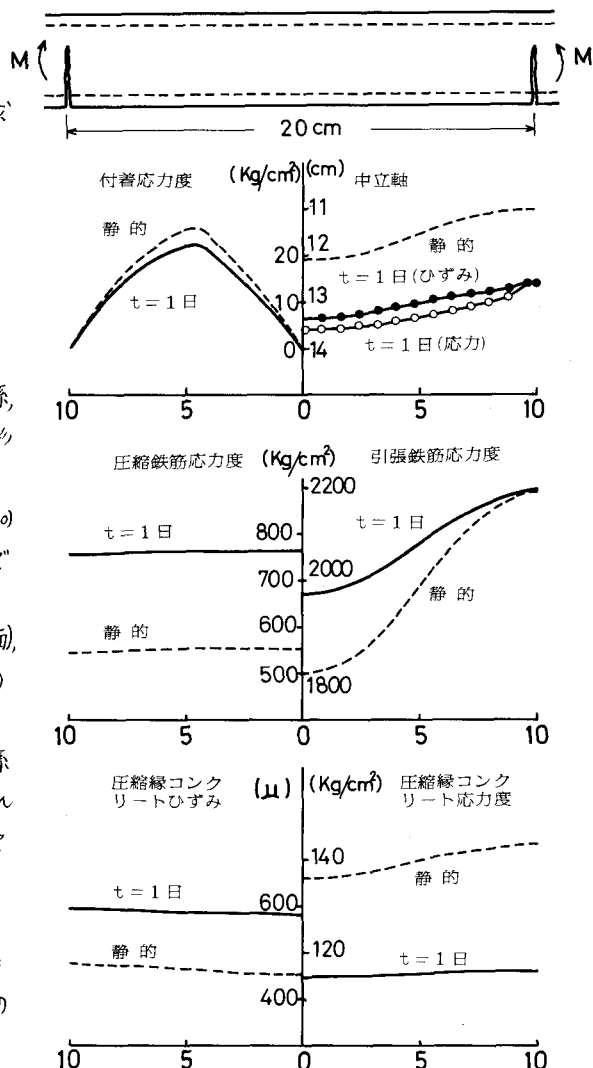


図-2 鉄筋およびコンクリート等の応力・ひずみ変化

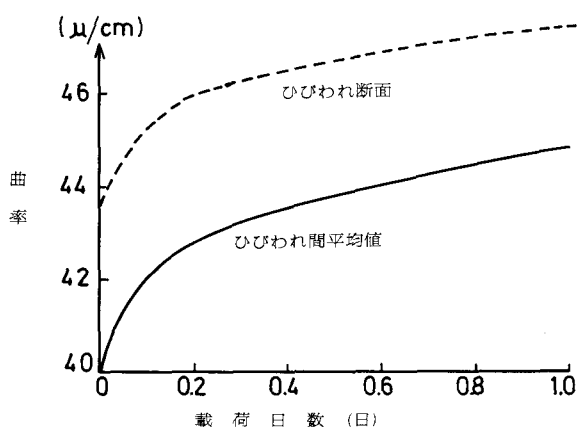


図-3 曲率の時間的推移